

## ЛИТЕРАТУРА

1. Тер-Миносянц С. М. Задача о сверхзвуковом обтекании нижней поверхности треугольного крыла.— Изв. АН СССР. МЖГ, 1966, № 6.
2. Белоцерковский С. М., Скрипач Б. К., Табачников В. Г. Крыло в нестационарном потоке газа. М.: Наука, 1971.
3. Красильщиков Е. А. Дифракция акустической волны на движущейся и неподвижной пластине.— ДАН СССР, 1972, т. 203, № 2.
4. Тугазаков Р. Я. Дифракция ударной волны на движущемся клине.— Учен. зап. ЦАГИ, 1975, т. 6, № 1.
5. Тугазаков Р. Я. Нестационарная пространственная задача о падении ударной волны на движущееся плоское треугольное крыло.— Труды ЦАГИ, 1978, вып. 1917.
6. Тугазаков Р. Я. Численное решение задачи о проникновении движущегося со сверхзвуковой скоростью тела в газ другой плотности.— Учен. зап. ЦАГИ, 1980, т. 11, № 4.
7. Голубинский А. И. Набегание ударной волны на клин, движущийся со сверхзвуковой скоростью.— ПММ, 1964, т. 28, вып. 4.
8. Арутюнян Г. М. О набегании ударной волны на клин, движущийся со сверхзвуковой скоростью.— Изв. АН СССР. МЖГ, 1968, № 4.
9. Polachek H., Seeger R. I. On shock-wave phenomena.— In: Interaction of shock waves in gases: Proc. Symposia in Appl. Math. Vol. 2. N. Y., 1949.

УДК 533.6.011.7 2

## РАСПРОСТРАНЕНИЕ УДАРНЫХ ВОЛН ПРИ ДВОЙНОМ ВЗРЫВЕ В ГАЗЕ С ПРОТИВОДАВЛЕНИЕМ

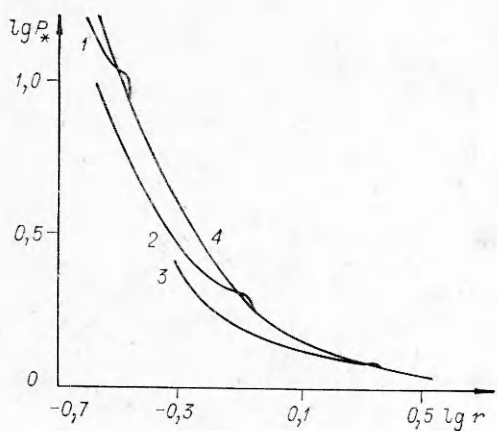
Э. И. Андрианкин, Н. Н. Мягков

(Москва)

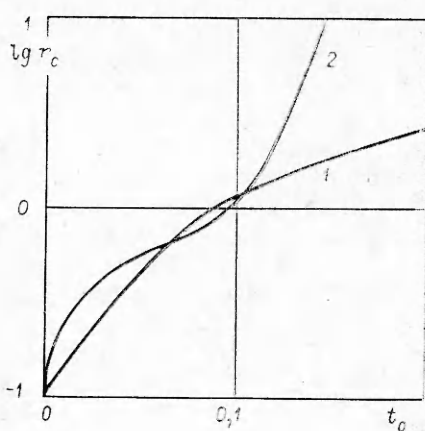
Задачи распространения ударных волн при выделении энергии одним точечным взрывом в газе исследовались достаточно подробно [1—3]. При рассмотрении двух взрывов [4], которые в общем случае могут происходить в разных точках пространства и инициироваться в разное время, появляется ряд новых безразмерных параметров, варьируя которые можно существенно изменять характер нелинейного взаимодействия ударных волн и образующихся одного или нескольких результирующих разрывов. Один предельный случай такой задачи — взрыв заряда над плоской поверхностью (что равносильно одновременному взрыву двух одинаковых зарядов, расположенных друг от друга на расстоянии, равном удвоенной высоте над поверхностью) — изучалась теоретически и экспериментально многими авторами [5—7]. Параметр, от которого зависит решение этой задачи, является безразмерной высотой заряда. В данной работе рассматривается другой предельный случай — задача о двойном взрыве, когда точечные взрывы происходят в одной точке пространства, но в разное время. Тогда решение будет зависеть от двух параметров управления: отношения энергий  $\lambda^0 = E_2^0/E_1^0$  соответственно при втором и первом взрывах и времени задержки между взрывами  $t_0$ , причем особый интерес представляет случай  $E_1^0 + E_2^0 = \text{const}$ .

1. Постановка задачи аналогична рассмотренной авторами ранее [8], однако с тем существенным отличием, что теперь учитывается противодавление среды  $P_0$  перед фронтом первой ударной волны. Считаем, что первый точечный взрыв происходит в момент времени  $t = -t_0$  в точке  $r = 0$ , а второй — в момент времени  $t = 0$  в той же точке пространства. Плотность невозмущенного газа  $\rho_0$ , вязкость и теплопроводность не учитываются. Течение газа за разрывами адиабатическое, подчиняется уравнению состояния совершенного газа  $\varepsilon = P/(\gamma - 1)\rho$  ( $\varepsilon$  — удельная внутренняя энергия) с показателем адиабаты  $\gamma = 1,4$ .

В качестве масштабов времени и расстояния взяты  $t^0 = r^0/(P_0/\rho_0)^{1/2}$ ,  $r^0 = (E_1^0/P_0\alpha_0)^{1/v}$ , где  $\alpha_0$  — автомодельная постоянная; рассматривается плоская ( $v = 1$ ) или сферическая ( $v = 3$ ) симметрия. Введем безразмерные переменные:  $t = t't^0$ ,  $r = r'r^0$ ,  $\rho = \rho'\rho_0$ ,  $P = P'P_0$ ,  $v = v'r^0/t^0$ . Время задержки  $t'_0 = t_0/t^0$ . Безразмерные величины здесь обозначены штрихом, который в дальнейшем будем опускать, считая, что имеем дело только с безразмерными величинами. При  $t_0 \rightarrow 0$  решение задачи о двойном взрыве переходит в решение задачи об одном взрыве с энергией  $E_1^0 + E_2^0$ .



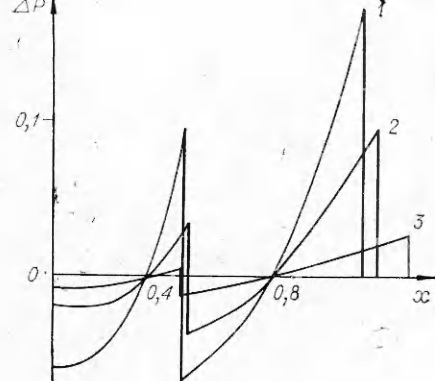
Фиг. 1



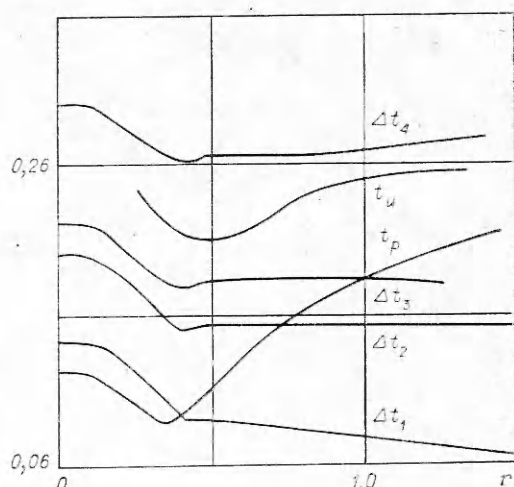
Фиг. 2

Исходная система уравнений газовой динамики решалась численно, методом С. К. Годунова по неявной разностной схеме с последующим пересчетом, основанным на интегральных законах сохранения [9], с выделением особенностей течения. При двойном точечном взрыве образуются две следующие друг за другом ударные волны и высокоэнтропийная зона в центре взрывов. Поэтому при счете выделялись высокоэнтропийная зона в центре, а также первый и второй ударные разрывы до их слияния, а после слияния — фронт результирующей ударной волны. В программе было предусмотрено изменение числа ячеек в двух счетных областях по мере эволюции течения и изменения размеров этих областей. Начальные условия для первого взрыва задавались численным решением автомодельной задачи о сильном взрыве [1], а для второго взрыва — из решения линеаризованной задачи [8], при давлениях на фронтах порядка 150—200. Точность расчетов контролировалась законами сохранения массы и энергии, для сферического случая ошибка не превышала 0,6%, для плоского — 2—3%.

2. Результаты численного решения представлены на фиг. 1—4. При изменении параметров  $t_0$  и  $\lambda^0$  меняется характер взаимодействия волн. На фиг. 1 для сферической симметрии и  $\lambda^0 = 1$  показана зависимость  $P_*$  — амплитуды второй ударной волны, а после слияния — амплитуды результирующей ударной волны — от расстояния до центра взрывов. Кривые 1—3 соответствуют задержке  $t_0 = 0,02; 0,08; 0,12$ ; 4 — амплитуды



Фиг. 3



Фиг. 4

да давления при взрыве одного заряда с энергией  $2E_1^0$  ( $t_0 = 0$ ). Видно, что после слияния разрывов двойного взрыва (расстояние слияния можно определить из фиг. 2) амплитуда результирующей волны быстро выходит на эсимптику одиночного взрыва энергии  $2E_1^0$ . Расчеты показывают, что аналогичным свойством обладает и импульс положительной фазы избыточного давления.

Важной характеристикой для распространяющихся одномерных ударных волн является расстояние слияния их разрывов (фронтов)  $r_c = r(\lambda^0, t_0)$ , однако в ряде случаев  $C_+$ -характеристика или ударный разрыв не могут догнать идущий впереди них ударный фронт. С характеристикой это произойдет, если она окажется в отрицательной фазе ударной волны, так как на больших расстояниях от места взрыва, как известно, точка перехода положительной фазы в отрицательную может служить предельной характеристикой: все  $C_+$ -характеристики, находящиеся в отрицательной фазе, не пересекутся с ней, сколько бы их не продолжали. Зависимость расстояния слияния ударных фронтов при двойном взрыве при  $\lambda^0 = 1$  от времени задержки  $t_0$  показана на фиг. 2 для плоской (кривая 1) и сферической (кривая 2) симметрий. В плоском случае вторая ударная волна всегда догонит первую; на фигуре видно, что в этом случае расстояние слияния  $r_c$  в рассматриваемом диапазоне времен  $t_0$  возрастает монотонно. Для сферической симметрии зависимость  $r_c(t_0)$  имеет перегиб, затем, резко возрастающая, расстояние слияния при конечном  $t_0$  стремится к бесконечности: второй ударный разрыв не может догнать первый.

Эволюция ударных волн для случая, когда второй разрыв не догоняет первый, показанная на фиг. 3, является типичной. Фиг. 3 построена для значений параметров двойного взрыва  $\lambda^0 = 0,6$ ,  $t_0 = 0,4$ , по оси абсцисс отложена бегущая координата  $x = r - \sqrt{\gamma t}$ , по оси ординат — избыточное давление  $\Delta P = P - 1$ . Конфигурация 1 соответствует времени  $t \approx 0,667$ , начиная с  $t \approx 1,4$  (конфигурация 2), скорость второго разрыва в некоторой лагранжевой частице становится меньше скорости звука в этой частице в момент перехода из положительной фазы в отрицательную, поэтому длительность отрицательной фазы первой волны начинает расти. В некотором интервале времен течение между разрывами напоминает профиль  $N$ -волны (конфигурация 3 соответствует  $t \approx 5,76$ ). Привлекая к рассмотрению теорию второго приближения в нелинейной акустике [10], легко видеть, что дальнейшая эволюция волн на значительных расстояниях приводит к тому, что амплитуда второго разрыва на фиг. 3 становится меньше нуля — отрицательные фазы обеих волн сливаются и образуется одна ударная волна со скачком газодинамических величин в отрицательной фазе.

Представляется вполне очевидным, что при достаточно больших  $\lambda^0$  ( $E_2^0 > E_1^0$ ) расстояние слияния будет конечным при любых, но конечных  $t_0$ . Поэтому для случая сферических взрывов можно выделить критические значения параметров  $\lambda_*^0$  и  $(t_0)_*$ , которые определят на плоскости  $\lambda^0$ ,  $t_0$  область  $t_0 > (t_0)_*$ ,  $\lambda^0 < \lambda_*^0((t_0)_*)$  зависят от  $\lambda^0$ ), дающую такие значения параметров  $t_0$  и  $\lambda^0$ , при которых второй разрыв не может догнать первый.

Существование критического времени задержки  $(t_0)_*$  обусловлено взаимодействием второго разрыва с фазой разрежения первой волны; так, при задержках  $t_0 \geq 0,12$  отрицательная фаза избыточного давления, а при задержках  $t_0 \geq 0,25$  отрицательная фаза скорости успевают появиться до инициирования второго взрыва, поэтому второй ударный разрыв при таких  $t_0$  распространяется некоторое расстояние по фазе разрежения, что вызывает его дополнительное затухание. Расстояния взаимодействия второго разрыва с фазами разрежения можно определить из пересечения кривых  $\Delta t(r)$  с  $t_p(r)$  и  $t_u(r)$  на фиг. 4, которая построена для  $\lambda^0 = 1$  и  $v = 3$ . На фиг. 4  $\Delta t(r)$  — временной интервал между приходом в данную зону координату  $r$  первого и второго разрывов,  $t_p$  и  $t_u$  — длительности положительных фаз избыточного давления и скорости соответственно первой ударной волны. Индексы 1, 2, 3, 4 при  $\Delta t$  соответствуют вре-

менам задержки  $t_0 = \Delta t(0) = 0,14; 0,20; 0,22; 0,30$ . В трех случаях из четырех, изображенных на фиг. 4, вторая волна взаимодействует только с отрицательной фазой избыточного давления, поэтому кривая  $\Delta t$  достаточно быстро достигает кривой  $t_p$ . В случае  $t_0 = 0,30$  вторая волна распространяется по отрицательным фазам избыточного давления и скорости, ослабление второго разрыва в этом случае существенно, кривые  $\Delta t_4, t_u(t_p)$  на фиг. 4 почти параллельны, они пересекутся только на расстояниях  $r \geq 10$ . Исходя из второго приближения нелинейной акустики, можно показать, что невозможность догона первого разрыва вторым на асимптотике слабых ударных волн связана с неположительностью суммарного импульса (или площади) отрицательной фазы первой волны и положительной фазы второй волны на расстояниях, где это приближение применимо (например, на фиг. 3).

Из фиг. 4 видно, что ударные разрывы на некотором интервале расстояний (обозначим его через  $\Delta r$ ), начиная с расстояния  $r_k$  (на фиг. 4  $r_k = 0,5$ ), способны образовывать устойчивую конфигурацию разрывов, т. е. конфигурацию, в которой временной интервал между разрывами  $\Delta t$  остается постоянным (обозначим его через  $T = T(t_0, \lambda^0)$ ), и что для задержки  $t_0 = 0,30$   $\Delta r \approx 0,2$  и  $T \approx 0,268$ , для  $t_0 \approx 0,2$   $\Delta r \geq 1,0$  и  $T = 0,155$  и т. д. Причем образование устойчивой конфигурации проявляется безотносительно к тому, догонит ли на асимптотике второй разрыв первый или нет. Подчеркнем, что при эволюции устойчивой конфигурации разрывов профиль за разрывами изменяется, а длительность временного интервала между разрывами остается постоянной. Условием постоянства  $T$  на  $\Delta r$  является равенство скоростей разрывов в каждой точке  $\Delta r$ , а это в свою очередь требует, чтобы амплитуда и профиль второй ударной волны были вполне однозначно согласованы с амплитудой и профилем первой волны в точке  $r_k$ , начиная с которой наблюдается устойчивая конфигурация разрывов. Представляется довольно интересным, что вторая волна за время эволюции от  $r = 0$  до  $r = r_k$  в довольно широком интервале задержек  $t_0$  «подстраивается» под первую волну таким образом, что это становится возможным.

Значительно увеличивая  $t_0$ , можно добиться независимого распространения волн при двойном взрыве, по крайней мере, на некотором интервале расстояний, поэтому, вообще говоря, при  $\lambda^0 \sim 1$  можно получить устойчивую конфигурацию разрывов со сколь угодно большим временным интервалом  $T \sim t_0$ . В противоположность этому уменьшение  $t_0$  не влечет за собой пропорционального уменьшения  $T$ , при данном  $\lambda^0$  невозможно получить устойчивую конфигурацию со сколь угодно малым безразмерным временем  $T$  (размерный временной интервал можно сделать любым, выбирая нужным образом  $E_1^v, P_0, \rho_0$ ), это обусловливается характером взаимодействия второй волны с фазами сжатия и разрежения за первой ударной волной. При  $\lambda^0 = 1$ ,  $v = 3$  минимальное значение длительности  $T \approx 0,9$  соответствует задержке  $t_0 \approx 0,14$ , избыточное давление на разрывах в точке  $r = r_k$  не превышает  $\sim 1,7$ . К скоростям разрывов волн с такими амплитудами уже применимо приближение нелинейной акустики. В этом приближении условие равенства скоростей разрывов обеих волн записывается в виде  $v_{+}^{(1)} = v_{+}^{(2)} + v_{-}^{(2)}$ , где  $v_{+}^{(1)}$  — скорость за первым разрывом,  $v_{+}^{(2)}$  — скорость за вторым разрывом,  $v_{-}^{(2)}$  — скорость перед вторым разрывом.

3. Рассмотрим возможность образования устойчивой конфигурации разрывов с произвольными профилями, исходя из приближения нелинейной акустики (теория второго приближения). В этом приближении распространение и взаимодействие волн вдоль выбранного характеристического направления без учета процессов диссипации и дисперсии описывается решением для волн Римана во втором приближении [10]. Поэтому, если рассматривать профиль в  $r = r_k$  как начальный, значениям скоростей и амплитуд разрыва на расстояниях  $r > r_k$  можно поставить в однозначное соответствие непрерывный ряд точек на профиле за и перед разрывом. Это

видно из римановского решения во втором приближении для обеих ударных разрывов [10]:

$$(3.1) \quad \begin{aligned} u_-^{(1)} &= 0, u_+^{(1)} = \Phi_1(\xi_p^{(1)} + zu_+^{(1)}), \\ u_-^{(2)} &= \Phi_1(\xi_p^{(2)} + zu_-^{(2)}), u_+^{(2)} = \Phi_2(\xi_p^{(2)} + zu_+^{(2)}). \end{aligned}$$

Для сферической геометрии обозначения имеют вид  $u = vr/r_k$ ,  $z = [(\gamma + 1)/2\gamma]r_k \ln(r/r_k)$ ,  $\xi = t - (r - r_k)/\sqrt{\gamma}$ ,  $\xi_p$  — координаты разрывов. Отсчет времени выбран так, что  $t = 0$  соответствует приходу первого разрыва в точку  $r = r_k(z = 0)$ . Полагаем также, что характерная длина волны  $l \ll r_k$ . Функции  $\Phi_1$  и  $\Phi_2$  выражают начальные профили первой и второй ударных волн в  $z = 0$ :

$$(3.2) \quad \begin{aligned} u &= 0, \xi < 0; u = \Phi_1(\xi), 0 \leq \xi < T; u = \Phi_2(\xi), \\ T &\leq \xi < \infty. \end{aligned}$$

Начальная координата первого разрыва  $\xi_p^{(1)} = 0$ , второго  $\xi_p^{(2)} = T$ .

Следовательно, возможность распространения устойчивой конфигурации разрывов на отрезке  $\Delta r$  связана с согласованностью начальных ( $r = r_k$ ) профилей волн (3.2) на участках, примыкающих к разрывам, до точек профилей, соответствующих расстоянию  $r_k + \Delta r$ .

Пусть  $\xi = f_1(u)$  и  $\xi = f_2(u)$  — функции, обратные  $\Phi_1$  и  $\Phi_2$ . Считаем, что профиль  $f_1(u)$  задан. Тогда из условия постоянства временного интервала между разрывами  $\xi_p^{(2)} - \xi_p^{(1)} = T$  (равенства скоростей разрывов) получаем систему уравнений из (3.1), (3.2), определяющую профиль второй волны  $f_2(u)$  такой, чтобы при  $z > 0$  образовывалась устойчивая конфигурация разрывов с временным интервалом  $T$ :

$$(3.3) \quad \begin{aligned} f_2(u_2) &= f_1(u_1 - u_2) + (2u_2 - u_1)z, \quad f_1(u_1 - u_2) = f_1(u_1) - u_2 z + T, \\ z_1(u_1) &= \frac{2}{u_1^2} \int_{\Phi_1(0)}^{u_1} p f_1'(p) dp, \quad T \geq f_1(u_1/2) - f_1(u_1), \quad \Phi_2(T) = \Phi_1(0) - \Phi_1(T). \end{aligned}$$

Для линейного или вогнутого профиля  $\Phi_1(\xi)$  первой волны ( $\Phi_1''(\xi) \geq 0$  и  $\Phi_1'(\xi) < 0$  при  $\xi \in (0, T)$ ), изображенного на фиг. 5, схематично показаны профили второй волны, получающиеся как решение системы (3.3) с различными  $T$ . В точке  $\xi = T$  начальный профиль второй волны может быть как выпуклым, так и вогнутым в зависимости от конкретной функции  $\Phi_1(\xi)$ , но первая производная  $\Phi_2'(T)$  остается меньше нуля. Решение для профиля  $\Phi_2(\xi)$  имеет характерную неоднозначность. Реальному волновому процессу отвечает лишь верхняя часть профиля  $\Phi_2(T) \geq \Phi_2(\xi) > u_m$  ( $u_m$  определяется как точка максимума функции  $f_2(u)$ ,  $f_2'(u_m) = 0$ ), для устранения неоднозначности необходимо нижнюю часть профиля  $f_2(u_m) < \xi < \infty$  заменить так, чтобы функция  $\Phi_2(\xi)$  была однозначно определена в каждой точке  $\xi > T$  (на фиг. 5 нижний участок профиля, удовлетворяющий условию однозначности, показан штриховыми линиями). Участок профиля  $\Phi_2(T) \geq \Phi_2(\xi) \geq u_m$  при заданных  $f_1$  и  $T$  соответствует максимально возможному расстоянию  $\Delta z$ , на котором волны будут распространяться с постоянной длительностью между фронтами  $T$ ;  $\Delta z = \Delta z(u_m, T)$  находится из решения (3.3). В общем случае решение (3.3) можно провести только численно. Для случая линейного профиля первой волны  $\Phi_1(\xi) = 1 - \xi/\alpha$  решение записывается в виде

$$f_2(u) = \alpha(1 - u) - \alpha\sqrt{T/\alpha u} + 2T, \quad u_m < u < \Phi_2(T) = T/\alpha,$$

$$u_m = \left( \frac{1}{2} \sqrt{T/\alpha} \right)^{2/3}, \quad \Delta z = (2T \sqrt{\alpha})^{2/3} - \alpha, \quad T > \alpha/2.$$

Интересно отметить, что профиль второй волны оказывается нелинейным. Рассмотрение задачи в рамках теории второго приближения дает возможность существования слабых ударных волн  $\Phi_1$  и  $\Phi_2$ , способных к образованию устойчивой конфигурации разрывов, безотносительно к способу получения таких волн. Согласованность профилей волн для образования устойчивой конфигурации зависит от способа их инициирования и эволюции до точки  $r_k$ . Для рассмотренного здесь двойного взрыва длительность  $T$  и интервал  $\Delta r$  зависят исключительно от  $\lambda^0$  и  $t_0$  и могут быть получены только в результате численного решения задачи.

*Поступила 9 VIII 1982*

#### ЛИТЕРАТУРА

1. Седов Л. И. Методы подобия и размерности в механике. М.: Наука, 1977.
2. Коробейников В. П. Задачи теории точечного взрыва в газах. М.: Наука, 1973.
3. Кестенбайм Х. С., Росляков Г. С., Чудов Л. А. Точечный взрыв. М.: Наука, 1974.
4. Коробейников В. П., Шидловская Л. В. Численное решение задач о взрыве в движущемся газе.—Численные методы механики сплошной среды, 1975, т. 6, № 4.
5. Физика взрыва/Под ред. К. П. Станюковича. М.: Наука, 1975.
6. Броуд Г. Расчеты взрывов на ЭВМ. М.: Мир, 1976.
7. Подглубный В. В., Фонарев А. С. Отражение сферической волны от плоской поверхности.—Изв. АН СССР. МЖГ, 1974, № 6.
8. Андрианкин Э. И., Мягков Н. Н. Двойной взрыв в совершенном газе.—ПМТФ, 1981, № 4.
9. Годунов С. К., Забродин А. В., Иванов М. Я., Крайко А. И., Прокопов Г. П. Численное решение многомерных задач газовой динамики. М.: Наука, 1976.
10. Руденко О. В., Солуян С. И. Теоретические основы нелинейной акустики. М.: Наука, 1975.

УДК 532.516

### ОБ ИНТЕГРАЛЬНЫХ УРАВНЕНИЯХ, ОПИСЫВАЮЩИХ РАСПРЕДЕЛЕНИЕ ТЕМПЕРАТУРЫ В ПЛОСКОМ ТЕЧЕНИИ НЕНЬЮТОНОВСКИХ СРЕД

*B. I. Найденов*

(Москва)

Аналитических исследований проблем конвективного теплообмена в вязкопластичных средах типа суспензий, растворов и расплавов полимеров и т. п. с реологическими характеристиками, зависящими от температуры, известно сравнительно мало [1], ввиду сложности исходных уравнений в основном превалируют численные методы.

В данной работе на основе автомодельных уравнений [2] получены нелинейные интегральные уравнения, описывающие распределение температуры в плоском течении неньютоновских сред.

Рассмотрим течение жидкости между двумя плоскостями, расстояние между которыми  $2h (-h \leq y \leq h)$ . Пусть температура стенок канала линейно меняется с продольной координатой  $x$ ,  $T_w = T_0 + Ax$ .

Как показано в [2], в определенных случаях, несмотря на зависимость вязкости от координат течения  $x, y$ , существует одномерное движение. Поэтому рассмотрим систему уравнений

$$(1) \quad \partial p / \partial x = \partial \tau / \partial y, \quad \partial p / \partial y = \partial \tau / \partial x, \quad \lambda \Delta T = \rho c_p \partial T / \partial t + \rho c_p u \partial T / \partial x.$$

Используем реологическое уравнение

$$(2) \quad \tau = k_0 \left| \frac{du}{dy} \right|^{n-1} e^{-\gamma(T-T_0)} \frac{du}{dy},$$

где  $k_0$  — консистенция среды;  $n$  — индекс течения ( $n > 1$  соответствует дилатантной жидкости,  $n < 1$  — псевдопластичной);  $u(y)$  — скорость